

流感

监测周报

16/2015年

2015年第16周 总第331期

(2015年4月13日-2015年4月19日)



中国疾病预防控制中心
病毒病预防控制所



目 录

CONTENTS

01	摘要
03	一、暴发疫情
04	二、流感样病例报告
06	三、病原学监测
12	四、人感染动物源性流感病毒疫情
13	五、动物禽流感疫情
14	六、其他国家/地区流感监测情况

中国流感流行情况概要(截至2015年4月19日)

·2015年第16周,我国南、北方省份的流感活动呈现中低水平流行态势,流感活动高峰已经过去。B型流感为主要的流行病毒。

·2014年10月以来,甲型H1N1流感病毒44株(95.7%)为A/California/7/2009的类似株,A(H3N2)亚型流感病毒729株(88.8%)为A/Texas/50/2012(H3N2)(鸡胚株)的低反应株,B(Yamagata)系527株(98.9%)为B/Massachusetts/2/2012类似株,B(Victoria)系2株(8.0%)为B/Brisbane/60/2008的类似株。

·2014年10月以来,耐药性监测显示,所有甲型H1N1和A(H3N2)亚型流感毒株均对烷胺类药物耐药;所有甲型H1N1均对神经氨酸酶抑制剂敏感;4株A(H3N2)亚型、2株B型流感毒株对神经氨酸酶抑制剂敏感性降低,其余A(H3N2)亚型、B型流感毒株均对神经氨酸酶抑制剂敏感。

摘要

一、暴发疫情

2015年第16周(2015年4月13-19日),全国(未含港澳台地区,下同)报告流感样病例暴发疫情(病例数10例及以上)10起,其中B型流感暴发疫情4起,混合型疫情1起,未确定疫情性质的疫情4起,检测结果阴性1起。共报告病例153例,无死亡病例。



二、流感样病例报告

2015年第16周, 南方省份哨点医院报告的流感样病例占门急诊病例总数百分比 (ILI%) 为2.9%, 高于前一周以及2011和2012年同期水平 (2.8%、2.6%和2.8%), 低于2013和2014年同期水平 (3.3%和3.0%)。

2015年第16周, 北方省份哨点医院报告的ILI%为2.3%, 低于前一周以及2012 – 2014年同期水平 (2.5%、2.6%、3.1%和2.6%), 与2011年同期水平持平 (2.3%)。

三、病原学监测

2015年第16周, 全国流感监测网络实验室共检测流感样病例监测标本4333份, 流感病毒阳性标本364份 (8.4%), 其中, A型流感89份 (24.5%), B型流感275份 (75.5%)。第16周, 南方省份流感检测阳性率为8.3%, 低于前一周 (9.6%); 北方省份流感检测阳性率为8.8%, 低于前一周 (10.7%)。南、北方省份检测到的流感各型别及亚型的数量和所占比例具体见表1。

表1 流感样病例监测实验室检测结果

	第16周		
	南方省份	北方省份	合计
检测数	3451	882	4333
阳性数 (%)	286(8.3%)	78(8.8%)	364(8.4%)
A 型	88(30.8%)	1(1.3%)	89(24.5%)
季节性 A(H3N2)	81(92.0%)	1(100%)	82(92.1%)
甲型(H1N1)	4(4.5%)	0(0)	4(4.5%)
A(unsubtyped)	3(3.4%)	0(0)	3(3.4%)
B 型	198(69.2%)	77(98.7%)	275(75.5%)
B 未分系	55(27.8%)	30(39.0%)	85(30.9%)
Victoria	14(7.1%)	2(2.6%)	16(5.8%)
Yamagata	129(65.2%)	45(58.4%)	174(63.3%)

2015年第16周, 国家流感中心对8株甲型H1N1流感病毒进行抗原性分析, 7株 (87.5%) 为A/California/7/2009的类似株, 1株 (12.5%) 为A/California/7/2009的低反应株; 对48株A(H3N2)亚型流感毒株进行抗原性分析, 其中48株均为A/Texas/50/2012 (H3N2) (鸡胚株) 的低反应株; 对69株B(Yamagata)系流感病毒进行抗原性分析, 其中69株均为B/Massachusetts/2/2012的类似株。

2015年第16周, 国家流感中心对15株甲型H1N1、86株B型流感毒株耐药性监测显示, 所有甲型H1N1、B型流感毒株均对神经氨酸酶抑制剂敏感。

暴发疫情

（一）本周新增报告的暴发疫情概况。

2015年第16周(2015年4月13-19日),全国(未含港澳台地区,下同)报告流感样病例暴发疫情(病例数10例及以上)10起,其中B型流感暴发疫情4起,混合型疫情1起,未确定疫情性质的疫情4起,检测结果阴性1起。共报告病例153例,无死亡病例。

（二）年度暴发疫情概况。

2015年第14-16周(2015年3月30日-4月19日),全国累计报告ILI暴发疫情(病例数10例及以上)23起,其中B型流感暴发疫情8起,A(H3)暴发疫情4起,甲型H1N1流感暴发疫情1起,混合型暴发疫情1起,流感病毒阴性暴发疫情3起,未确定疫情性质的疫情6起。

1. 时间分布。

2015年第14-16周,南方省份共报告20起ILI暴发疫情,高于2014年同期报告疫情数(15起)。(图1)

2015年第14-16周,北方省份共报告3起ILI暴发疫情,高于2014年同期报告疫情(2起)。(图2)

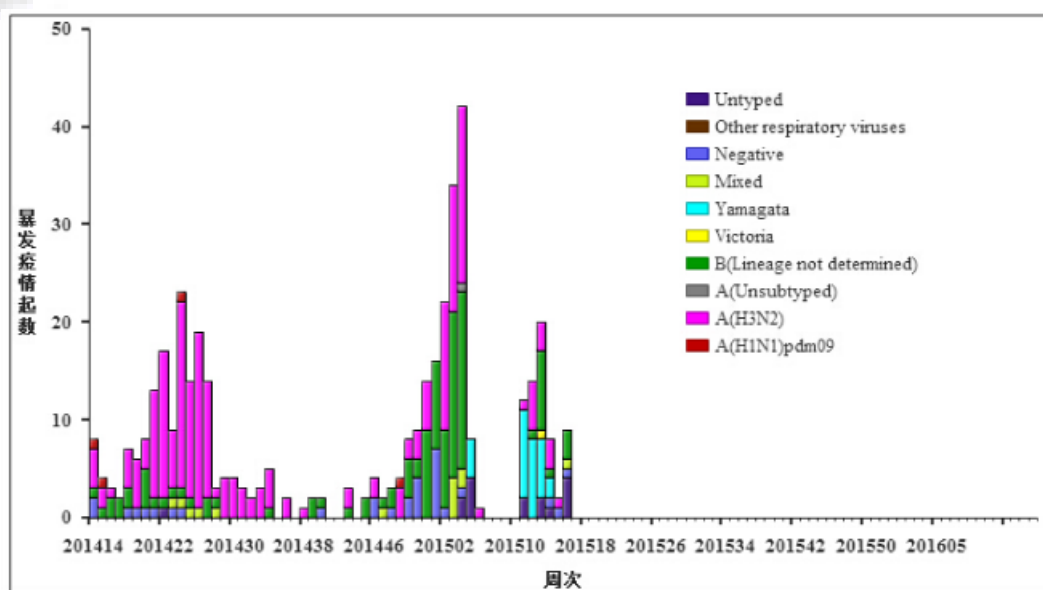


图1 2014-2016年度南方省份报告ILI暴发疫情时间分布
(按疫情报告时间统计)

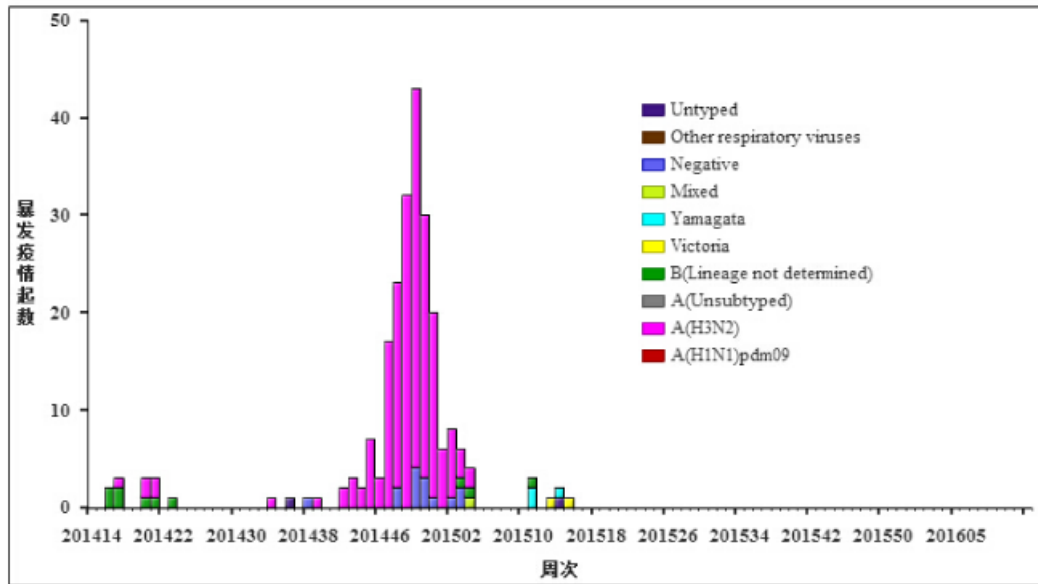


图2 2014 – 2016 年度北方省份报告ILI暴发疫情时间分布
(按疫情报告时间统计)

2. 地区分布。

2015年第14 – 16周, 全国累计报告的23起ILI暴发疫情, 分布于广东 (7起)、广西 (4起)、贵州、湖南 (各3起), 四川 (2起)、甘肃、湖北、山东、辽宁 (各1起)。

流感样病例报告

(一) 流感监测哨点医院报告情况。

截至2015年4月20日24时, 全国554家国家级流感监测哨点医院有535家 (96.6%) 报告了2015年第16周的ILI数据。24个省份及新疆生产建设兵团的及时报告率达到100%。

表 2 2015 年第 16 周各省份报告不及时的国家级 ILI 监测哨点医院数量统计

省份	报告不及时哨点医院数量 (家)	省份	报告不及时哨点医院数量 (家)
西藏	10	湖北省	1
内蒙古	3	青海省	1
四川省	2		
广西	1		
湖南省	1		

(二) 南方省份流感样病例占门急诊病例总数百分比。

2015 年第 16 周, 南方省份哨点医院报告的流感样病例占门急诊病例总数百分比 (ILI%) 为 2.9%, 高于前一周以及 2011 和 2012 年同期水平 (2.8%、2.6% 和 2.8%), 低于 2013 和 2014 年同期水平 (3.3% 和 3.0%)。(图 3)

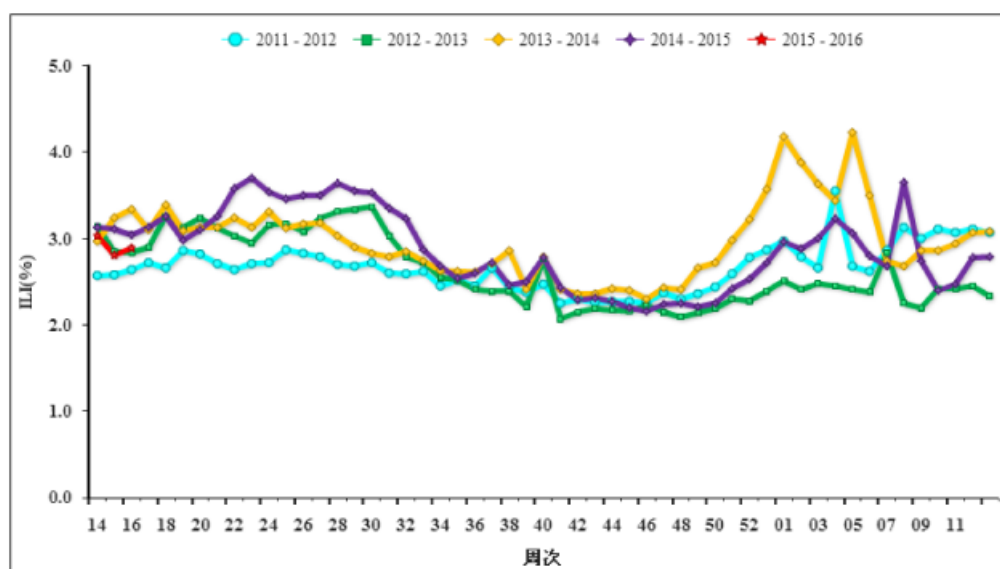


图 3 2011 - 2016 年度南方省份哨点医院报告的流感样病例 %

(三) 北方省份流感样病例占门急诊病例总数百分比。

2015 年第 16 周, 北方省份哨点医院报告的 ILI% 为 2.3%, 低于前一周以及 2012-2014 年同期水平 (2.5%、2.6%、3.1% 和 2.6%), 与 2011 年同期水平持平 (2.3%)。(图 4)

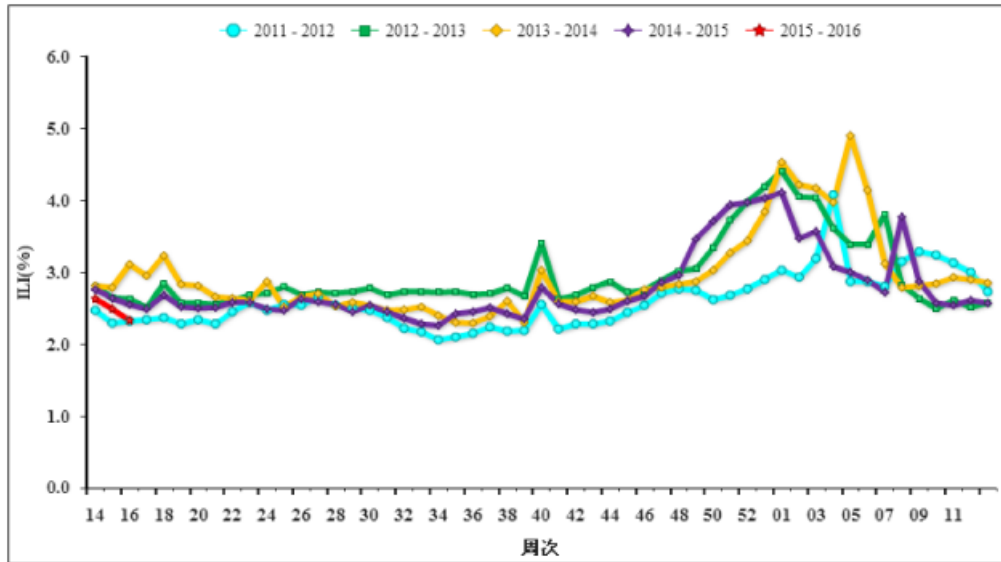


图4 2011—2016年度北方省份哨点医院报告的流感样病例%



病原学监测

(一) 流感样病例监测。

1. 全国流感病毒分离情况。

截至2015年4月20日数据下载时,2015年第13—16周(2015年3月23日—4月19日)全国各省(市、区)有203家网络实验室开展了病毒分离工作,共分离到1052株流感病毒(表3)。自2014年10月1日(2014年第40周)以来,国家流感中心(CNIC)收到各流感监测网络实验室上送的甲型H1N1、A(H3N2)和B型流感毒株14668株,其中采样日期在2014年10月1日之后甲型H1N1、A(H3N2)和B型流感毒株13715株。(表4)

表 3 2015 年第 13 – 16 周各省份流感病毒分离情况 (按采样日期统计)

省份	分离的流感毒株数	分离的 A 型各亚型与 B 型各系毒株数			
		A(H3N2)	甲型 H1N1	B(Victoria)系	B(Yamagata)系
北京市	162	0	0	0	162
辽宁省	86	6	0	3	77
江西省	84	0	0	8	76
广东省	72	9	0	1	62
天津市	72	0	0	0	72
安徽省	58	4	0	0	54
黑龙江	54	12	1	0	41
湖南省	53	7	0	1	45
山东省	53	0	0	0	53
四川省	47	2	0	0	45
河北省	43	0	0	1	42
云南省	37	17	0	0	20
江苏省	34	9	0	0	25
湖北省	34	2	0	0	32
广西	31	2	0	0	29
福建省	25	0	0	0	25
上海市	25	6	2	0	17
浙江省	17	7	0	0	10
吉林省	15	0	0	0	15
贵州省	15	2	0	0	13
重庆市	10	3	0	0	7
新疆	9	0	0	0	9
内蒙古	8	0	0	0	8
甘肃省	4	0	0	1	3
河南省	3	2	0	0	1
陕西省	1	0	0	0	1
总计	1052	90	3	15	944

表 4 国家流感中心累计收检季节性流感毒株数量

(采样日期 2014 年 10 月 1 日 – 2015 年 4 月 19 日)

省份	收检次数	收检毒株总数	省份	收检次数	收检毒株总数	省份	收检次数	收检毒株总数
安徽	95	825	湖北	59	406	陕西	52	513
北京	85	952	湖南	89	356	上海	112	1188
福建	48	252	吉林	52	358	四川	91	410
甘肃	57	461	江苏	71	338	天津	31	609
广东	84	300	江西	67	333	西藏	0	0
广西	67	354	辽宁	90	615	新疆	86	523
贵州	87	300	内蒙古	7	67	新疆兵团	0	0
海南	0	0	宁夏	4	26	云南	159	559
河北	47	623	青海	3	66	浙江	91	499
河南	153	742	山东	114	978	重庆	3	7
黑龙江	92	762	山西	35	293			



2. 南方省份。

2015年第16周，南方省份检测到流感阳性标本286份（8.3%），其中A型流感阳性标本88份（30.8%），B型阳性标本198份（69.2%）。88份A型流感阳性标本中，81份为A(H3N2)流感，4份为甲型H1N1流感，3份A型流感未分亚型。198份B型流感阳性标本中，129份为B(Yamagata)系流感，14份为B(Victoria)系流感，55份为B型流感未分系。各型别具体数据见表1和图5。第15周，南方省份网络实验室共分离到93株流感病毒，A(H3N2)流感16株，B(Victoria)系流感3株，B(Yamagata)系流感74株。分离的病毒型别构成见图6。

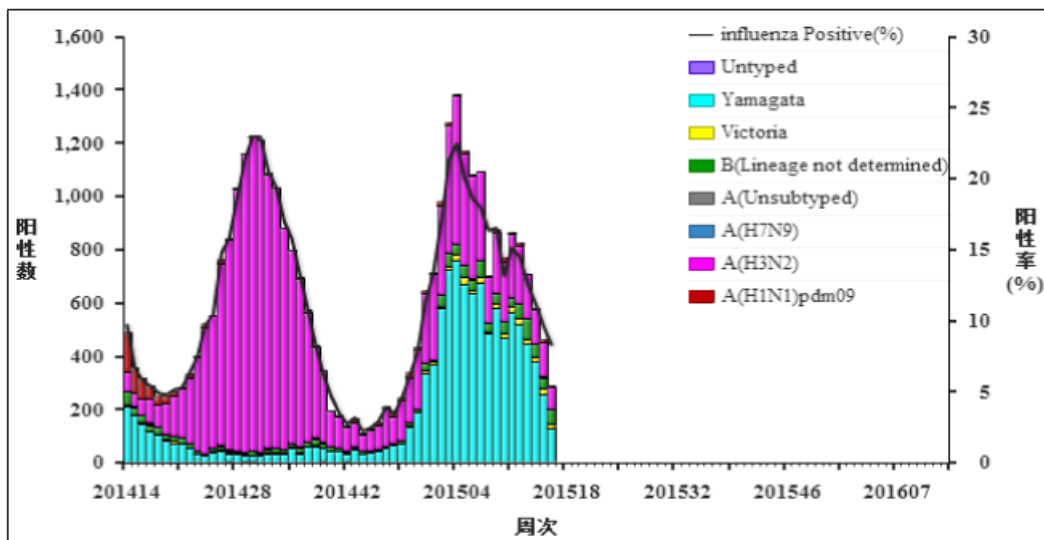


图5 南方省份ILI标本检测结果

注：数据来源于网络实验室检测结果，网络实验室结果CNIC结果不一致的以CNIC复核结果为准。

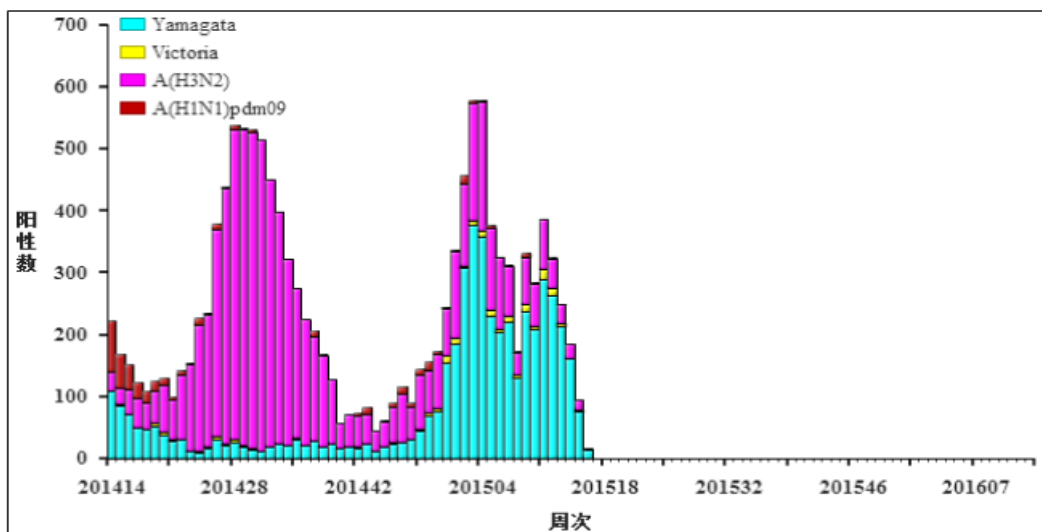


图6 南方省份ILI标本分离毒株型别/亚型构成

注：数据来源于网络实验室检测结果，网络实验室结果和CNIC结果不一致的以CNIC复核结果为准。

3. 北方省份。

2015年第16周，北方省份检测到流感病毒阳性标本78份(8.8%)，其中A型流感1份(1.3%)，B型流感77份(98.7%)。1份A型流感阳性标本为A(H3N2)流感；77份B型流感阳性标本中，45份B(Yamagata)系流感，2份B(Victoria)系流感，30份B未分系流感。各型别具体数据见表1和图7。第15周，北方省份网络实验室分离到52株流感病毒，B(Victoria)系流感1株，B(Yamagata)系流感51株。分离的病毒型别构成见图8。

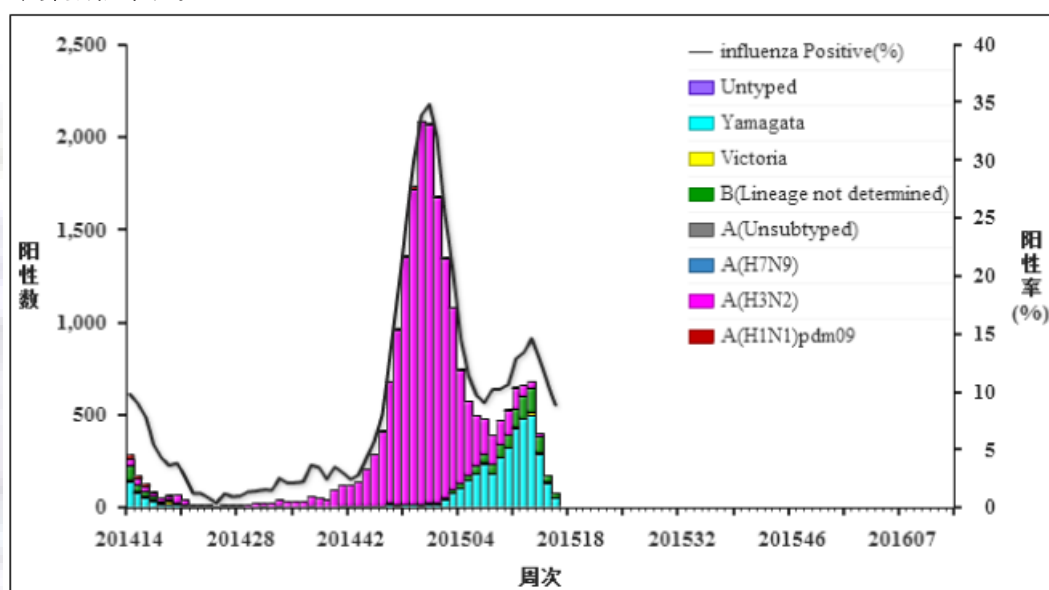


图7 北方省份ILI标本检测结果

注：数据来源于网络实验室检测结果，网络实验室结果和CNIC结果不一致的以CNIC复核结果为准。

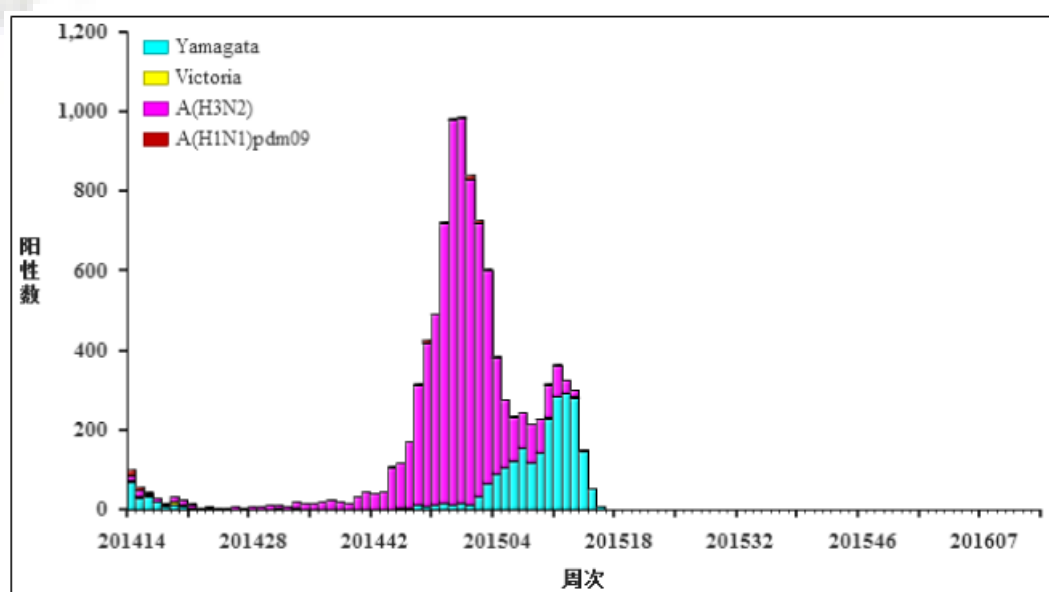


图8 北方省份ILI标本分离毒株型别/亚型构成

注：数据来源于网络实验室检测结果，网络实验室结果和CNIC结果不一致的以CNIC复核结果为准。



(二) ILI 暴发疫情实验室检测结果。

1. 南方省份。

2015年第16周，南方省份网络实验室收检到流感样病例暴发疫情标本101份。检测到流感阳性标本26份，其中A(H3N2)流感7份，B(Yamagata)系流感15份，B未分系4份。(图9)

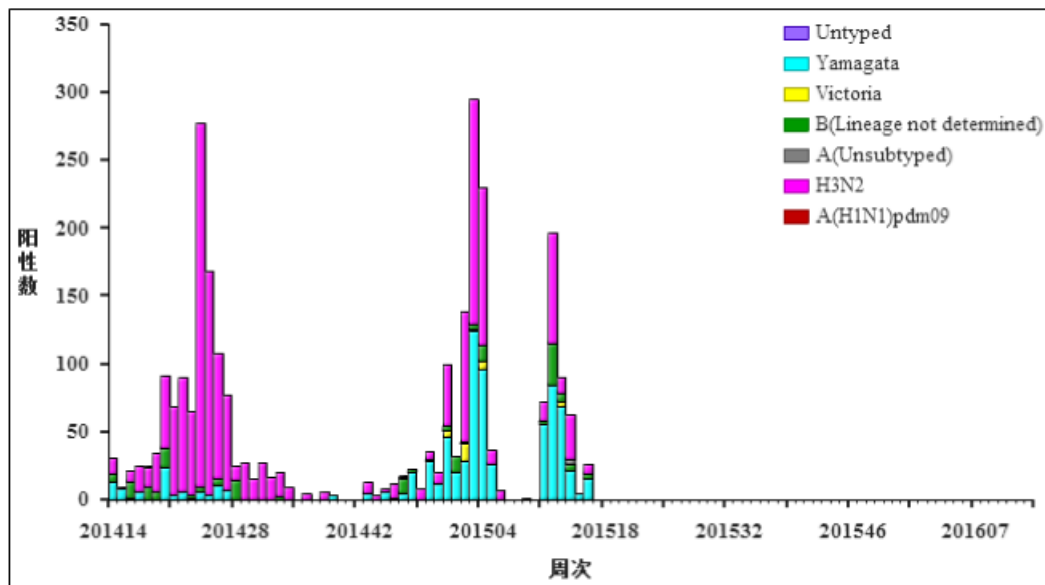


图9 南方省份ILI暴发疫情标本检测结果

注：数据来源于网络实验室检测结果，网络实验室结果和CNIC结果不一致的以CNIC复核结果为准。

2. 北方省份。

2015年第16周，北方省份网络实验室未收检到流感样病例暴发疫情标本。(图10)

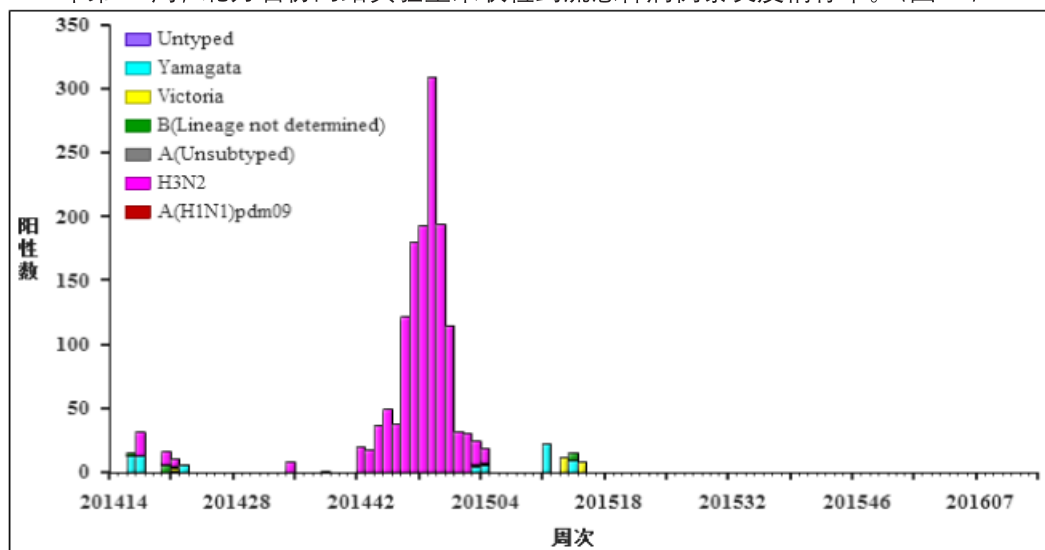


图10 北方省份ILI暴发疫情标本检测结果

注：数据来源于网络实验室检测结果，网络实验室结果和CNIC结果不一致的以CNIC复核结果为准。

(三) 抗原性和基因特性分析。

2015年第16周,国家流感中心对8株甲型H1N1流感病毒进行抗原性分析,其中7株(87.5%)为A/California/7/2009的类似株,1株(12.5%)为A/California/7/2009的低反应株;对48株A(H3N2)亚型流感毒株进行抗原性分析,48株均为A/Texas/50/2012(H3N2)(鸡胚株)的低反应株;对69株B(Yamagata)系流感病毒进行抗原性分析,69株均为B/Massachusetts/2/2012的类似株。

2014年10月1日-2015年4月19日(以采样日期统计),CNIC对46株甲型H1N1流感病毒进行抗原性分析,44株(95.7%)为A/California/7/2009的类似株,2株(4.3%)为A/California/7/2009的低反应株;对同期的821株A(H3N2)亚型流感毒株进行抗原性分析,其中92株(11.2%)为A/Texas/50/2012(H3N2)(鸡胚株)的类似株,729株(88.8%)为A/Texas/50/2012(H3N2)(鸡胚株)的低反应株;对同期的533株B(Yamagata)系流感病毒进行抗原性分析,其中527株(98.9%)为B/Massachusetts/2/2012的类似株,6株(1.1%)为B/Massachusetts/2/2012的低反应株;对同期的25株B(Victoria)系流感毒株进行抗原性分析,2株(8.0%)为B/Brisbane/60/2008的类似株,23株(92.0%)为B/Brisbane/60/2008的低反应株。

(四) 耐药性分析。

2015年第16周,国家流感中心对15株甲型H1N1、86株B型流感毒株耐药性监测显示,所有甲型H1N1、B型流感毒株均对神经氨酸酶抑制剂敏感。

2014年10月1日-2015年4月19日,CNIC耐药监测数据显示,所有甲型H1N1和A(H3N2)亚型流感毒株均对烷胺类药物耐药;所有甲型H1N1均对神经氨酸酶抑制剂敏感,4株A(H3N2)亚型、2株B型流感毒株对神经氨酸酶抑制剂敏感性降低,其余A(H3N2)亚型、B型流感毒株均对神经氨酸酶抑制剂敏感。



人感染动物源性流感病毒疫情

(一) 人感染H7N9 禽流感病毒疫情。

根据传染病报告信息管理系统数据, 2015年第16周, 我国内地报告人感染H7N9禽流感确诊病例2例, 分别发生在安徽和浙江; 死亡病例2例, 发生在安徽和福建, 均为既往病例死亡。2014年10月1日-2015年4月19日, 我国内地累计报告人感染H7N9确诊病例197例, 死亡病例86例。截止2015年4月12日, 我国累计报H7N9确诊病例653例, 死亡病例261例(含香港13例, 死亡3例; 台湾4例, 死亡1例)。

表5 我国内地报告人感染H7N9 禽流感确诊病例情况
(2014年10月1日-2015年4月19日)

省份*	确诊病例数	死亡病例数	病死率(%)	性别		年龄范围(中位数)
				男	女	
广东	72	31	43.1	50	22	0.75-84(52)
福建	40	12	30.0	29	11	1-88(54.5)
浙江	40	17	42.5	25	13	20-80(58)
江苏	18	11	61.1	12	7	27-78(56)
新疆	4	4	100.0	3	1	65-83(78.5)
上海	5	2	40.0	4	1	38-75(52)
兵团	3	3	100.0	2	1	45-68(54)
江西	2	0	0.0	2	0	34-74(54)
湖南	2	1	50.0	0	2	52-63(57.5)
山东	2	1	50.0	2	0	59 (58-60)
贵州	1	1	100.0	1	0	44
安徽	8	3	37.5	6	1	3-79(58)
总计	197	86	43.7	136	59	0.75-88(55)

*: 按现住址统计。

(二) 人感染H5N1 高致病性禽流感病毒疫情。

第16周, WHO未报告人感染H5N1高致病性禽流感病例。

(译自: http://www.who.int/influenza/human_animal_interface/en/)

动物禽流感疫情

第 16 周, OIE 报告高致病性禽流感动物疫情 17 起, 分别来自巴勒斯坦 (1 起)、中国 (4 起)、美国 (11 起) 和不丹 (1 起)。

表 6 第 16 周全球报告动物感染高致病性禽流感疫情 (以 OIE 公布日期为准)

国家/地区	省/市	疫情开始时间	疫区	感染的禽流感亚型	涉及种类	涉及动物数量	动物感染数量	动物死亡数量
巴勒斯坦	GAZA STRIP	2015/04/11	院落	H5	家禽	150	90	60
中国	台北	2015/03/26	农场	H5N2	家禽	3000	2112	2112
	台北	2015/03/29	农场	H5N2	家禽	2500	2500	2500
	台北	2015/04/03	农场	H5N2	家禽	2500	590	590
美国	MINNESOTA	2015/04/05	农场	H5N2	家禽	66000	—	—
	MINNESOTA	2015/04/06	农场	H5N2	家禽	48000	—	—
	MINNESOTA	2015/04/06	农场	H5N2	家禽	315000	—	—
	TENNESSEE	2015/04/06	院落	H5N2	家禽	71944	—	—
	MINNESOTA	2015/04/07	农场	H5N2	家禽	30000	—	—
	MINNESOTA	2015/04/07	农场	H5N2	家禽	44800	—	—
	SOUTH DAKOTA	2015/04/08	农场	H5N2	家禽	54670	—	—
	NORTH DAKOTA	2015/04/08	农场	H5N2	家禽	60000	—	—
	SOUTH DAKOTA	2015/04/09	农场	H5N2	家禽	49525	—	—
	MINNESOTA	2015/04/09	农场	H5N2	家禽	38440	—	—
	WISCONSIN	2015/04/09	农场	H5N2	家禽	200000	—	—
中国	香港	2015/04/10	—	H5N6	牛科	—	1	1
不丹	THIMPHU	2015/04/03	院落	H5N1	家禽	37	16	16

一：未涉及或不详。



(译自: http://www.oie.int/wahis_2/public/wahid.php/Diseaseinformation/WI)



其他国家 / 地区流感监测情况

全球

北半球流感活动停止进一步的上升，全球的大部分地区仍然保持低水平。且在本流行季节北半球主要流行株为A(H3N2)。B型流感和甲型H1N1在过去几周的检测率有所上升。

在北美地区，流感活动继续减少，本流行季节的主要流行株为A(H3N2)，B型流感在几周成为最常检测出的病毒。

在欧洲地区，大多数国家的流感活动继续下降。主要流行株为A(H3N2)，但B型流感在最后一周成为最常检测出的病毒。

非洲北部和中东地区，大部分地区流感活动有所下降，且主要流行株为A型流感病毒。

亚洲西部地区，大部分地区流感活动有所下降且保持低水平，主要流行株为A型流感病毒。但土耳其和约旦流感检测数量有所上升且居高不下。

亚洲温带地区，大部分地区流感活动有所下降，只有韩国仍然保持高水平。韩国主要流行株为A(H3N2)，且B型流感检测数量有所上升。中国北方B型流感仍为主要流行株，但检测数量有所下降。

美洲热带地区，大部分地区的流感活动保持低水平。

亚洲热带地区，印度的主要流行株为甲型H1N1，且流感活动有所下降。中国的南方省份主要流行株为B型流感，且已达到峰值开始下降。在中国香港特别行政区，最常检测到的亚型为A(H3N2)。

非洲热带地区，非洲西部的流感活动有所上升，且以甲型H1N1、A(H3N2)和B型流感共同流行。马达加斯加的流感活动在经历了2月份的上升和3月初的峰值后有所下降，以A(H3N2)和B型流感共同流行。

南半球国家的流感活动仍处于非流行季水平。

基于FluNet上(截止2015年4月14日12:35UTC)2015年3月22-4月4日)全球流感监测实验室共检测了72871份标本，12009份检测结果为阳性，其中4187份为A型(34.9%)，7822份为B型(65.1%)。所有A已分亚型标本中，1281(48.5%)份为甲型H1N1流感，1359(51.5%)份为A(H3N2)流感。所有B型已分亚型流感标本中，1441份(97%)为B(Yamagata)系，44份(3%)为B(Victoria)系。

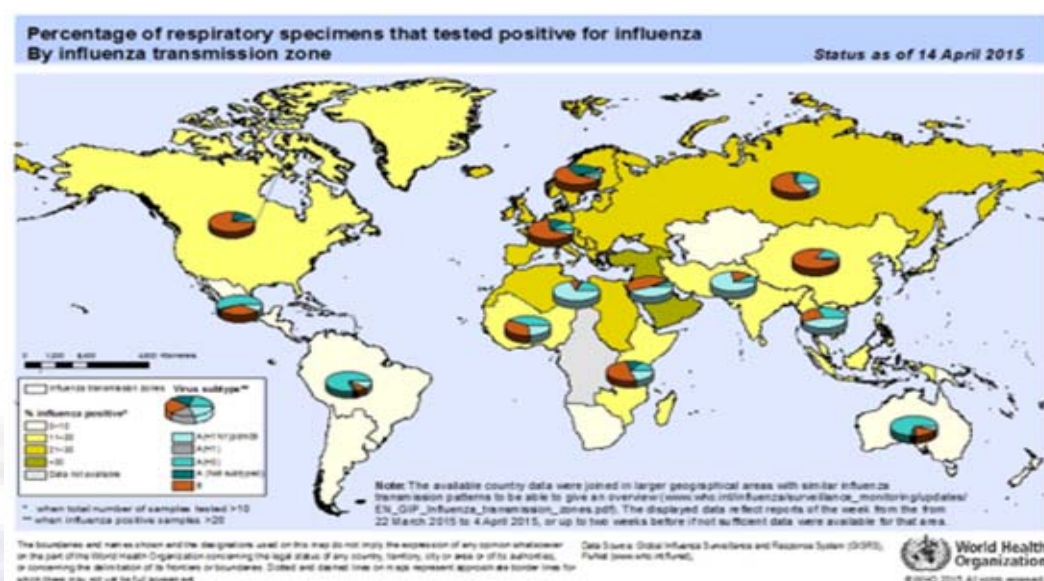


图 11 全球流感监测分布图

北半球温带地区

北美洲

北美国家流感活动继续下降，处于季节性阈值水平。主要流行株为 A (H3N2)，B 型流感在过去几周为最常检测出的病毒。然而在过去几周，B 型流感的检测数量在缓慢下降。

加拿大，整体流感检测数量缓慢下降，B 型流感的比例有所上升。B 型流感在 65 岁以下年龄的检测比例较大。在本流行季节开始，年龄在 65 岁以下检测出 B 型流感的比例为 60%，而检测出 A (H3N2) 的比例为 41%。流感样病例活动处于预期水平。

美国，流感活动持续下降，流感活动水平（1.8%）自本流行季节以来第一次低于季节性阈值（2.0%）。A 型流感的检出率继续下降，B 型流感检出率已达到峰值且继续下降。流感检测阳性率为 10.7%，与上周的 10.6% 持平。122 个城市报告死于肺炎和流感的死亡人数占全部死亡人数的比例达到 6.5%，低于流行阈值（7.1%）。

墨西哥，流感检测阳性率由 2014 年底的峰值 50%，以及上周的 24.3% 下降至 16.7%，ARI 活动水平由 1 月底的峰值水平 700 每 100 000 人口和上周水平 509 每 100 000 人口，下降至 397 每 100 000 人口。肺炎活动有所下降，但仍高于预期水平。

欧洲

在欧洲，大多数国家流感活动继续下降，但阳性率仍然高达 36%，高于阈值 10%。主要流行株为 A (H3N2)，但是此地区甲型 H1N1 继续传播，且 B 型流感检测稳步增长，在最近一周达到 77%。基于欧洲的项目数据（在公共卫生行动中监测超额死亡率）显示，死亡病例报告有所下降。流感病例在本周的入院数在第 7 周达到高峰后继续下降。

在东欧，流感活动继续下降，且保持低水平，主要流行株为 A (H3N2)，其次为 B 型流感。



非洲北部地区

在北非和中东，大部分地区流感活动减少，主要流行株为甲型H1N1。

亚洲西部

在亚洲西部，大多数国家的流感活动有所下降。ILI活动水平和流感检测数量仍然较高，且3月底达到峰值，土耳其主要流行株为B型流感。约旦自3月以来甲型H1N1的检测数有所上升。伊朗自2月份的高峰以来，流感活动继续下降，且以甲型H1N1，A(H3N2)和B型流感共同流行。

中亚

在中亚地区，一些国家流感活动保持低水平，A(H3N2)和B型流感共同流行。

东亚

亚洲东部地区，流感活动在大部分地区有所下降，但是韩国仍然保持较高水平，门诊ILI就诊率为31.7%，高于基线水平12.2%。然而A(H3N2)的检测比例有所下降，B型流感检测比例有所上升。中国北方地区，B型流感的阳性率有所上升，占总流感检测的93.2%。在蒙古，ILI活动水平和肺炎入院率均有所降低，流感的检测数也有所减少。

热带地区

美洲/中美洲和加勒比热带国家

总的来说，在加勒比海、中美洲和南美洲等热带国家流感活动水平仍然较低，且以B型流感和A(H3N2)为主。

在南美洲的热带国家，哥伦比亚自2015年1月-2月报告了连续几周流感活动有所上升且以甲型H1N1，A(H3N2)和B型流感共同流行后，流感活动有所降低。

中非热带地区

非洲地区，非洲西部在过去几周的流感检测数量有较大的上升，科特迪瓦和加纳为甲型H1N1、A(H3N2)和B型共同流行，而塞内加尔主要以甲型H1N1为主。

马达加斯加自2015年2月门诊ILI达到峰值后，流感活动继续上升。流感阳性率在这段时间达到44.9%，B型流感占检测数量的64.6% (144/223)，而A(H3N2)占检测数量的35.4% (79/223)。在SARI样本中，35.8% (44/123)为呼吸道病毒阳性，RSV是全球最常监测到的病毒 (29/44, 65.9%)，其次是B型流感 (17/44, 38.6%) 和A型流感 (8/44, 18.2%)。

亚洲热带地区

在亚洲热带地区，流感活动在印度有所下降，且主要流行株为甲型H1N1。不丹的流感样病例数量和SARI病例数有所上升，在流感样病例中，A(H3N2)的检测数有所上升且甲型H1N1的检测数有所下降，然而SARI病例样本中没有检测到流感阳性病毒。斯里兰卡的流感监测数有所上升，主要流行株为甲型H1N1。

中国的南方省份的流感活动在达到峰值后继续下降，主要流行株为B型流感。香港特别行政区

的流感活动继续下降，接近基线水平，主要流行株为 A(H3N2)，ILI% 也从 5.7% 下降至 4.8%。越南也报告了零星的流感活动，为甲型 H1N1 和 B 型流感病毒。

南半球温带地区

南半球大多数国家的流感活动仍处于非流行季水平。

(译自 http://www.who.int/influenza/surveillance_monitoring/updates/latest_update_GIP_surveillance/en/index.html)

美国（第 14 周，2015 年 4 月 5 – 11 日）

第 14 周，美国流感活动继续下降。

第 14 周，流感样病例门诊监测网络报告的 ILI% 为 1.8%，水平低于国家基线（2.0%）。

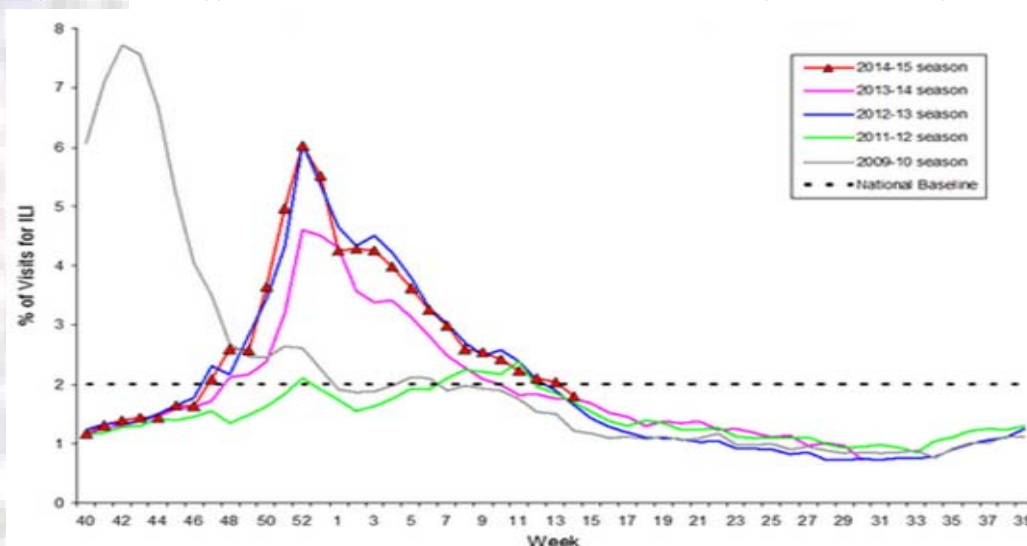


图 12 美国流感样病例监测周分布

第 14 周，共检测标本 11189 份，流感病毒阳性 1076 份（9.6%），其中 A 型 139 份（12.9%），包括 46 份 A(H3)、3 份甲型 H1N1 和 90 份 A 未分亚型；B 型流感 937 份（87.1%）。

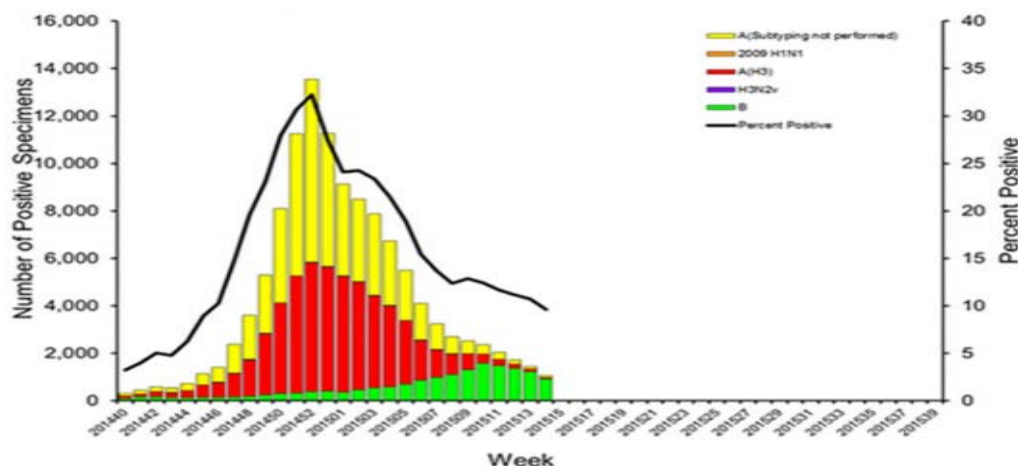


图 13 美国流感病原监测周分布



第14周, 122个城市报告死于肺炎和流感的死亡人数占全部死亡人数的6.1%, 低于流行阈值7.0%。

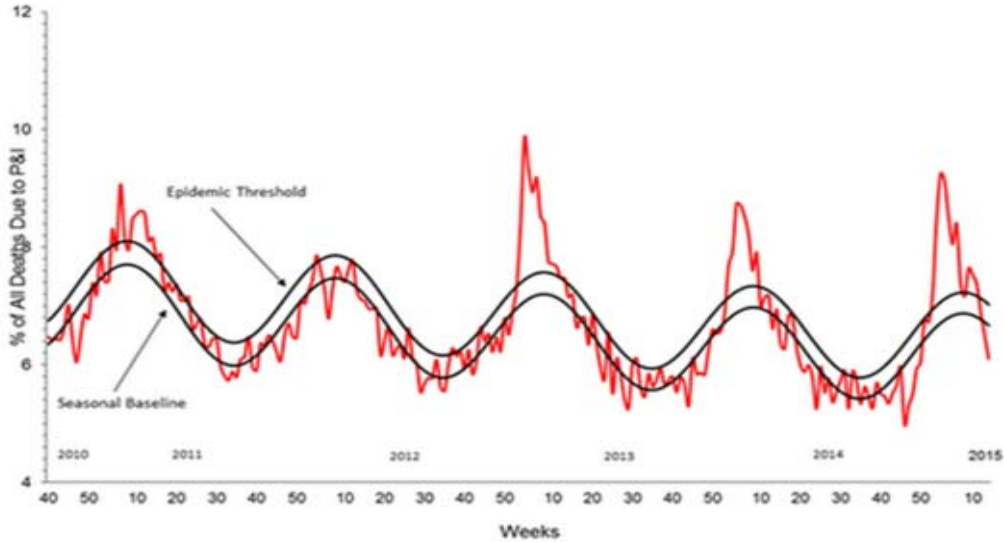


图 14 美国肺炎和流感死亡监测

注: 美国共有 10 个监测地区。

(译自: <http://www.cdc.gov/flu/weekly/pastreports.htm>)

加拿大 (第 14 周, 2015 年 4 月 5 – 11 日)

第14周, B型流感仍然是所有地区和省份的主要流行株。A型和B型流感的检测数量与前一周相似。同时A型流感检测的数量继续下降。其他呼吸道病毒的传播, 在2014 - 2015年流感季节结束后, 有所减少。在本流行季节的早期, 与A(H3N2)流感相比, B型流感对小于65岁的成年人影响较大。来自国家微生物学实验室(NML)的证据表明, 今年的疫苗对正在流行的甲型H1N1 和B型流感病毒具有保护作用。

第14周, A型阳性率(2.2%), B型阳性率(12.2%), 与前一周相比继续下降。

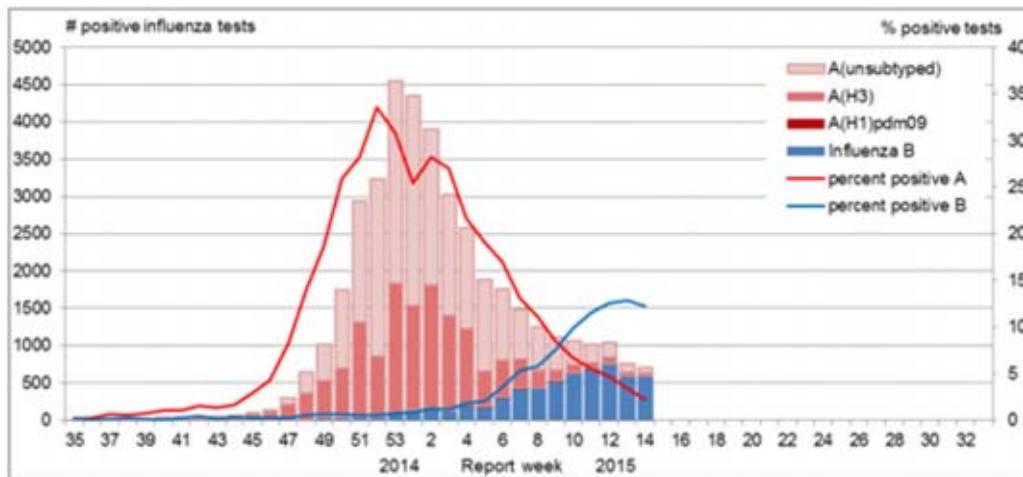


图 15 加拿大流感病原监测周分布



ILI 就诊率有所上升，达到 49.4‰，高于预期水平。

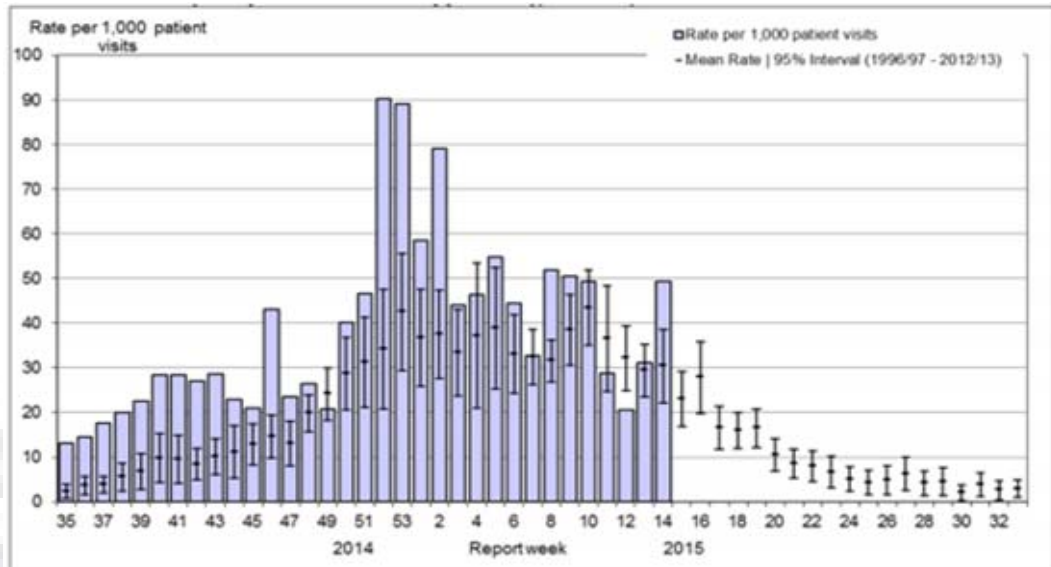


图 16 加拿大流感样病例监测周分布

注：加拿大共有 10 个省和 3 个特区，分为 54 个监测地区。

(译自：<http://www.phac-aspc.gc.ca/fluwatch>)

香港（第 15 周，2015 年 4 月 5 - 11 日）

最新的监测数据显示，整体流感活跃程度接近基线水平。主要流行病毒为 A (H3N2) 流感，但近期 B 型流感病毒阳性样本有所增加。

第 15 周，香港定点普通科诊所报告的流感样病例个案平均数下降至 3.2‰，低于前一周的 4.8‰。

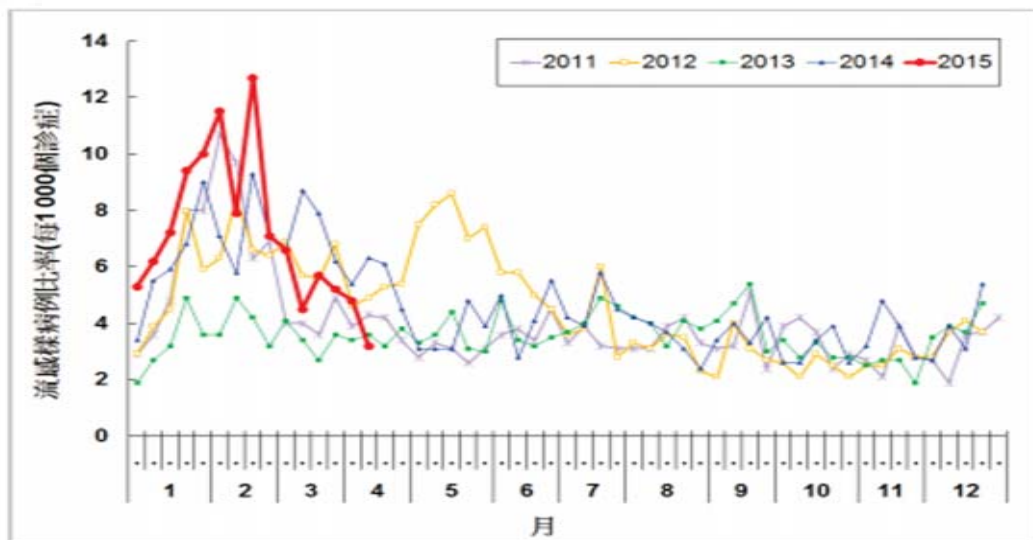


图 17 香港定点普通科诊所流感样病例监测周分布

第 15 周，香港定点私家医生所报告的流感样病例个案平均比例上升至 41.6‰，与前一周的 41.5‰ 相若。

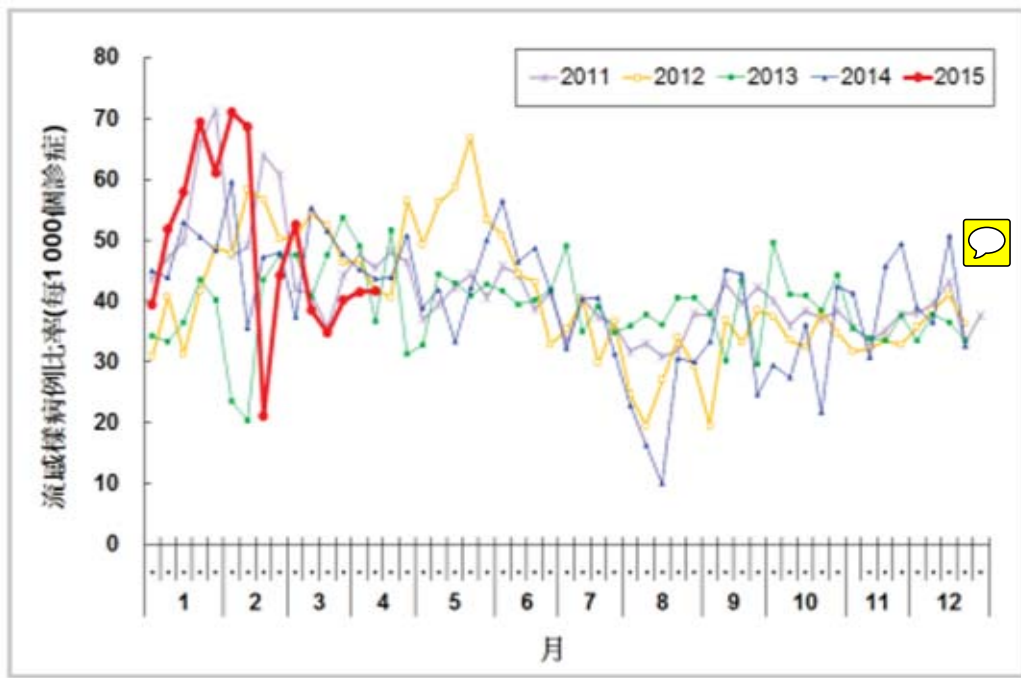


图 18 香港定点私家医生流感样病例监测周分布

第15周，香港公共卫生检测中心共检测到427份流感病毒阳性标本，其中包括276份A(H3)、11份A(H1N1)、136份B型流感和4份丙型流感。

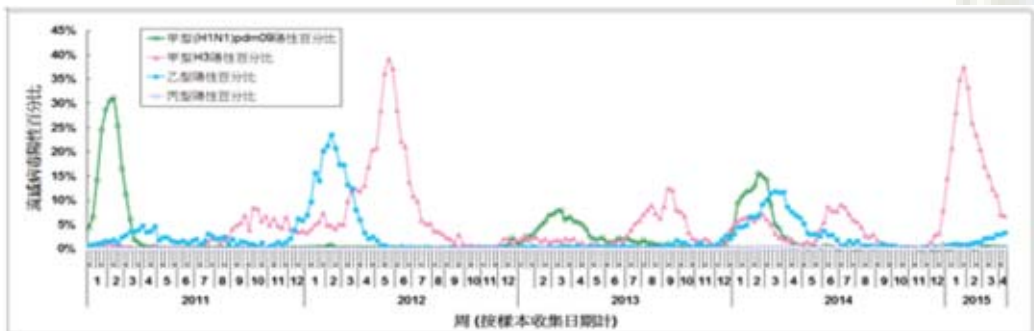


图 19 香港流感病原监测周分布

2015年第15周，本中心获得8起在学校/院舍发生的流感样暴发的报告，高于前一周获得的4起。2015年第16周的前4天（2015年4月12－15日）有1起在学校发生的流感样暴发的报告。第15周，0－4岁，5－64岁及65岁及以上年龄组主要诊断为流感的入院率分别0.53、0.05和0.73（此年龄组别每1万人的入口）。

（摘自：http://www.chp.gov.hk/tc/guideline1_year/29/134/441/304.html）

台湾地区（第14周，2015年4月5－11日）

台湾地区流感疫情处于流行高峰期；近期社区检出病毒型别以A(H3N2)型为主，B型流感病毒近

期有增加趋势。

2015年第12周，社区流感病毒阳性率为19.8%，阳性检测中64.7%为A型流感病毒。

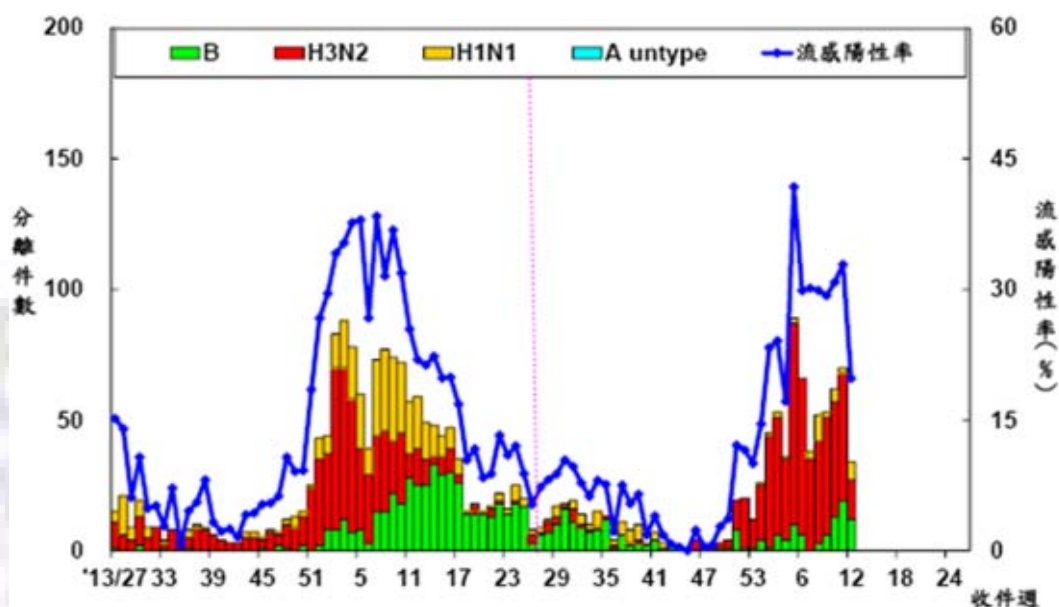


图 20 台湾地区 2013 – 2015 流感病毒分型

2015年第14周，新增28例流感并发重症病例，4例经审查与流感相关死亡病例。自2014年8月1日起累计329例流感并发重症病例，52例流感并发重症死亡病例。

2015年第14周，门诊ILI就诊人数为72363人次，百分比为1.4%，较前一周1.5%略降。急诊ILI百分比为12.1%，较前一周12.2%持平。

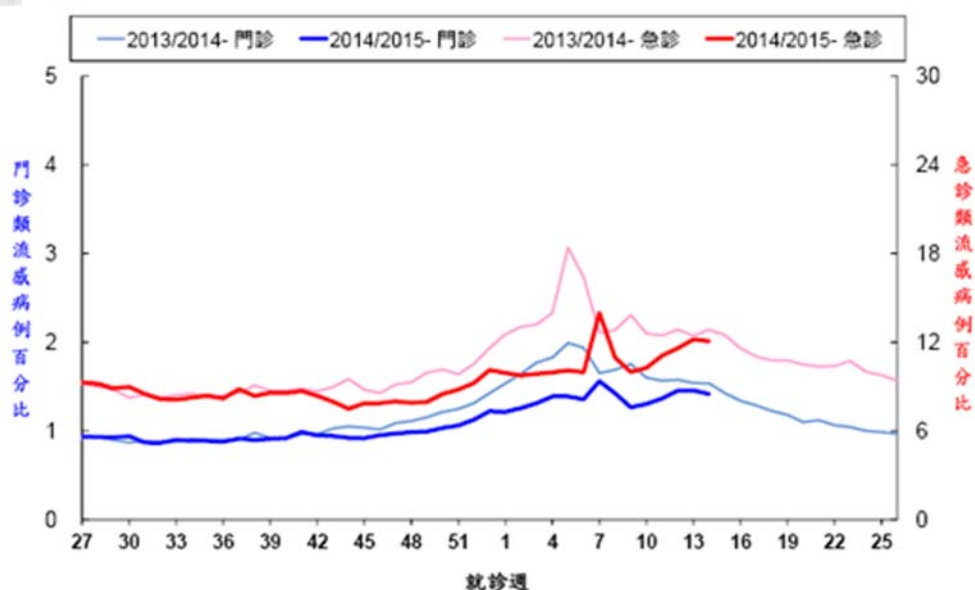


图 21 台湾地区门诊及急诊流感样病例百分比

(摘自: <http://flu.cdc.gov.tw/>)



中国疾病预防控制中心病毒病预防控制所编制

地 址：北京市昌平区昌百路155号病毒病所

邮 编：102206

电 话：010—58900863

传 真：010—58900863

电子邮箱：Fluchina@cnic.org.cn

编 辑：中国疾病预防控制中心病毒病预防控制所国家流感中心

编发日期：2015年4月24日

发行范围：国家卫生计生委领导、疾病预防控制局、卫生应急办公室、
医政司；中国疾病预防控制中心领导、病毒病所、各相关处室；

下 载：中国流感监测信息系统（<http://1.202.129.170:82/>）或
中国国家流感中心网站（<http://www.cnic.org.cn/>）提供下载。